

ЗОННЫЙ МАГНИТОДИПОЛЬНЫЙ СПЕКТР ФЕРРОМАГНИТНОЙ СВЕРХРЕШЕТКИ

Ю.В.Грибкова, М.И.Каганов

Для магнитных сверхрешеток – слоев магнетика, разделенных немагнитными промежутками, вычислена зависимость частот магнитодипольных колебаний от квазиволнового вектора.

В последнее время получили распространение работы, посвященные свойствам магнитных сверхрешеток – слоистых структур, состоящих из магнитного и немагнитного материалов^{1, 2}. Интерес к ним связан как с перспективами их использования в современной микроэлектронике, так и с возможностью наблюдения с их помощью различных физических явлений.

В данной работе рассматриваются линейные высокочастотные свойства одномерной сверхрешетки, состоящей из ферромагнитного и немагнитного диэлектриков (рис. 1). Спектр объемных и поверхностных возбуждений бесконечной пластины известен давно^{3, 4}. В^{5–7} рассмотрен случай двух слоев ферромагнетика, разделенных немагнитной щелью. В данной работе показано, что в сверхрешетке, т. е. системе, состоящей из очень большого числа слоев, возникает зонная картина для спектра возбуждений вместо дискретного набора решений, характерного для отдельных пластин.

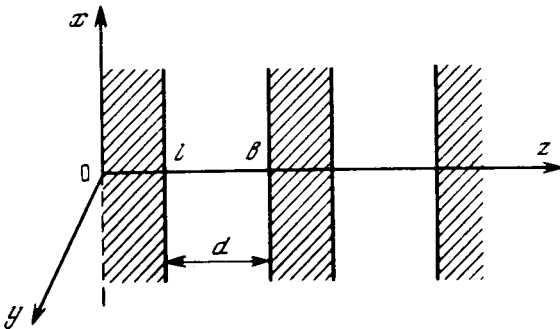


Рис. 1. Структура сверхрешетки. $b = l + d$ – ее период, l – толщина слоя магнетика, d – расстояние между слоями

Полная система уравнений, описывающих собственные колебания магнитного поля, состоит из уравнений магнитостатики, условий на границах слоев и условия Блоха:

$$\varphi(z+b) = e^{ikb} \varphi(z), \quad (1)$$

где φ – магнитный скалярный потенциал, а \vec{k} – квазиволновой вектор ($-\frac{\pi}{b} \leq k \leq \frac{\pi}{b}$).

Магнитная восприимчивость задается уравнением Ландау –Лифшица без учета диссипации и пространственной дисперсии. Это возможно, если выполнены следующие условия:

$$\lambda_D, \quad \frac{c}{\omega} \gg \lambda \gg \sqrt{\frac{J}{\mu M_0}} a. \quad (2)$$

Здесь λ – длина волны, λ_D – длина ее затухания, c – скорость света, μ_0 – намагниченность насыщения, $\sqrt{(J/\mu M_0)}a$ – обменная длина (a – постоянная решетки, J – обменный интеграл, $\mu = g \hbar$ – магнетон Бора).

Решение внутри ячейки сверхрешетки имеет вид: внутри слоя магнетика:

$$\varphi_m^{(i)} = e^{i\vec{k}\vec{r}} (A_m e^{iqz} + B_m e^{-iqz}), \quad (3)$$

вне его

$$\varphi_m^{(e)} = e^{i\vec{k}\vec{\rho}} (C_m e^{\kappa z} + D_m e^{-\kappa z}), \quad (4)$$

m — номер ячейки; $\vec{\rho}$ и $\vec{\kappa}$ — двумерные вектора с компонентами x , y и κ_x , κ_y соответственно. Вектор $\vec{\kappa}$ следует считать заданным параметром задачи — характеристикой решения.

Спектр возбуждений системы различен при разной ориентации слоев относительно постоянного магнитного поля внутри магнетика H_0 . Если оно параллельно оси сверхрешетки z , то в слоях магнетика существуют только объемные возбуждения ⁴, т. е. волновой вектор q не может быть мнимым. Если поле перпендикулярно z , то, кроме объемных, могут возникать и поверхностные волны Даймона — Эшбаха ³ на границах слоев.

Рассмотрим сначала случай, когда поле и ось анизотропии параллельны z . Дисперсионное уравнение, связывающее q с κ и \vec{k} имеет вид:

$$\cos kb = \operatorname{ch} \kappa d \cos ql - \frac{q^2 - \kappa^2}{2\kappa q} \operatorname{sh} \kappa d \sin ql.$$

Т. е. $q = q_{n\kappa}(\vec{k})$, где $n = 1, 2 \dots$ — номер решения уравнения (4). Четность уравнения (4) по q приводит к двукратному вырождению решения. Из-за изотропии в плоскости пластины решение не зависит от направления вектора $\vec{\kappa}$. Частота собственных магнитостатических колебаний системы — функция q и \vec{k} при заданном κ и номере решения

$$\omega_{n\kappa}^2(\vec{k}) = \Omega_0 \left[\Omega_0 + 4\pi g M_0 \frac{\kappa^2}{\kappa^2 + q_{n\kappa}^2(\vec{k})} \right], \quad (5)$$

где $\Omega_0 = gH_0$. Из-за зависимости $q_{n\kappa}$ от \vec{k} дискретные частоты (при фиксированном значении κ), характерные для изолированной пластины, превращаются в неперекрывающиеся зоны. Из формулы (5) видно, что все частоты лежат внутри интервала от Ω_0 до $\sqrt{\Omega_0(\Omega_0 + 4\pi g M_0)}$, который соответствует интервалу для объемных спиновых волн внутри однородного неограниченного магнетика при нулевом волновом векторе.

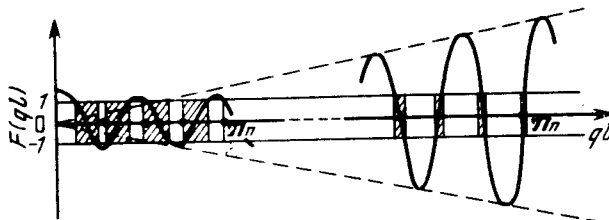


Рис. 2. Правая часть уравнения (7) как функция ql . Область определения $\cos kb$ "вырезает" разрешенные зоны значений ql (заштрихованы)

Анализ уравнения (4) показывает, что если пластины расположены далеко друг от друга ($\kappa d \gg 1$), то из дискретных значений $q_{n\kappa}^0$ и $\omega_{n\kappa}$, полученных в работе ⁴, возникают экспоненциально узкие зоны (аналог "сильной связи" в зонной теории):

$$q_{n\kappa}(k) = q_{n\kappa}^0 \left(1 - 2e^{-\kappa d} \frac{\cos kb - e^{-\kappa d} \cos q_{n\kappa}^0 l}{q_{n\kappa}^0 l \pm 1} \sin q_{n\kappa}^0 l \right). \quad (6)$$

Знак +, если $\pi n \leq |q_{n\kappa}^0 l|/2 \leq \pi(n + \frac{1}{2})$, а --, если $\pi(n + \frac{1}{2}) \leq |q_{n\kappa}^0 l| \leq \pi(n + 1)$.

Более интересным является случай малых d . Значение $d = 0$ означает исчезновение немагнитных прослоек и превращение образца в однородный. При этом квазиволновой вектор \vec{k}

превращается в обычный волновой, а $\kappa^2/(\kappa^2 + q^2)$ есть $\sin^2 \theta$, где θ – угол между $\vec{\kappa}$ и \vec{M}_0 . При $\kappa d \neq 0$, но $\kappa d \ll 1$ из (4) имеем

$$\cos kb = \cos ql - \frac{1}{2} \left(qd - \frac{\kappa}{q} \kappa d \right) \sin ql. \quad (7)$$

Видно (рис. 2), что "слабая связь" осуществляется только для не слишком больших значений q . С ростом номера решения осуществляется переход к "сильной связи". Узкие разрешенные зоны разделены широкими запрещенными.

Перейдем теперь к случаю, когда внешнее магнитное поле и ось легкого намагничивания лежат в плоскости пластинки и направлены вдоль оси x (рис. 1). Теперь волновой вектор q может быть и действительным, и мнимым. Реальное q соответствует объемным, а мнимое – поверхностным возбуждениям на границах слоев. Для действительного аналог уравнения (4):

$$\cos kb = \operatorname{ch} \kappa d \cos ql - \frac{1}{2\kappa q} \left\{ q^2 - \kappa^2 - \frac{4\pi g M_0}{\Omega_0} (\kappa^2 + q^2) \frac{\kappa_y^2}{\kappa_x^2} \right\} \operatorname{sh} \kappa d \sin ql, \quad (8)$$

а для мнимого ($q \equiv i\gamma$):⁸

$$\cos kb = \operatorname{ch} \kappa d \operatorname{ch} \gamma l + \frac{1}{2\kappa\gamma} \left\{ \gamma^2 + \kappa^2 + \frac{4\pi g M_0}{\Omega_0} (\kappa^2 - \gamma^2) \frac{\kappa_y^2}{\kappa_x^2} \right\} \operatorname{sh} \kappa d \operatorname{sh} \gamma l. \quad (9)$$

Уравнение (8) имеет бесконечный набор решений $q_{n\vec{\kappa}}(\vec{k})$ при заданных компонентах κ_x и κ_y . Частоты собственных объемных магнитостатических колебаний:

$$\omega_{n\vec{\kappa}}^2(\vec{k}) = \Omega_0 \left[\Omega_0 + 4\pi g M_0 \frac{\kappa_y^2 + q_{n\vec{\kappa}}^2(\vec{k})}{\kappa^2 + q_{n\vec{\kappa}}^2(\vec{k})} \right]. \quad (10)$$

Уравнение (9) имеет, при заданных $\vec{\kappa}$ и \vec{k} , единственное решение $\gamma = \gamma_{\vec{\kappa}}(\vec{k})$. Соответствующая ему частота волны:

$$\omega_{\vec{\kappa}}^2(k) = \Omega_0 \left[\Omega_0 + 4\pi g M_0 \frac{\kappa_y^2 - \gamma_{\vec{\kappa}}^2(\vec{k})}{\kappa^2 - \gamma_{\vec{\kappa}}^2(\vec{k})} \right]. \quad (11)$$

При больших d значение $\gamma_{\vec{\kappa}}^0$ для одиночной пластины (и, соответственно $\omega_{\vec{\kappa}}^0$) расширяется в экспоненциально узкую зону, аналогично (6). При произвольных d зависимость γ от \vec{k} и $\vec{\kappa}$ находится из точного решения уравнения (9). Волна, распространяющаяся перпендикулярно H_0 ($\kappa_x = 0$) выделена. При этом $\gamma = \pm k_y$. Зона по частоте все же образуется:

$$\omega^2 = \Omega_0 [\Omega_0 + 4\pi g M_0] + \frac{(4\pi g M_0)^2}{2} \frac{\operatorname{sh} |\kappa_y| d \operatorname{sh} |\kappa_y| l}{\operatorname{ch} |\kappa_y| b - \cos kb}. \quad (12)$$

Свойства объемных возбуждений, возникающих при $H_0 \perp z$, аналогичны случаю $H_0 \parallel z$.

Анализируя полученные выражения надо помнить об ограничительных неравенствах (2), запрещающих рассмотрение слишком больших значений κ и q , т. е. больших n .

Литература

- Гулляев Ю.В., Зильберман П.Е. РЭ, 1978, 23, 897.
- Proceedings of the International Conference on Magnetism. J. Mag. and Magn. Mat., 1986, 54 – 57; Proceedings of the Thirty – First Annual Conference on Magnetism and Magnetic Materials, J. Appl. Phys., 1987, 61, № 8.

3. Damon R.W., Esbach J.R. J. Phys. Chem. Solids, 1961, **19**, 308.
4. Барьяхтар В.Г., Каганов М.И. В сб. : Ферромагнитный резонанс и спиновые волны. М.: Физматгиз, 1961. 266.
5. Pfeiffer H. Phys. Stat. Sol. (A), 1973, **18**, k53.
6. Pfeiffer H. Phys. Stat. Sol. (A), 1973, **19**, k85.
7. Grünberg P. J. Appl. Phys., 1980, **51**, 4338.
8. Camley R.E., Talat S. Rahman, Mills D.L. Phys. Rev. B, 1983, **27**, 261.

Институт физических проблем
Академии наук СССР

Институт физики твердого тела
Академии наук СССР

Поступила в редакцию
19 апреля 1988 г.